

شناسایی عامل بیماری پژمردگی گوجه‌فرنگی و کنترل آن با استفاده از
باکتری‌های آنتاگونیست در استان آذربایجان شرقی

Detection and Identification of Tomato wilt disease in East
Azerbaijan Province and Controlling It Using Antagonist
Bacteria

احمد اشرفی^۱، مهرداد صالح زاده^{۲*}، نبی خضری نژاد^۳

Ashrafi Ahmad¹, Salehzadeh Mehrdad^{2*}, Khezrinezhad Nabi³

۱- کارشناس ارشد بیماری شناسی گیاهی، دانشگاه آزاد واحد ملکان

۲- دانشجوی دکتری بیماری شناسی گیاهی، دانشکده کشاورزی، دانشگاه شیراز، ایران

۳- گروه بیماری شناسی دانشگاه آزاد، واحد ملکان

1. MSc. of Plant Pathology, Department, Faculty of Agriculture, Malekan Branch, Islamic Azad University
2. PhD Student of Plant Pathology, Department, Faculty of Agriculture, University of Shiraz, Iran
3. Plant Pathology Department, Faculty of Agriculture, Malekan Branch, Islamic Azad University

* نویسنده مسئول مکاتبات، پست الکترونیکی: Mehrdadsalehzadeh@gmail.com

(تاریخ دریافت: ۹۹/۲/۲۳ - تاریخ پذیرش: ۹۹/۵/۲۰)

چکیده

واژه‌های کلیدی

باکتری‌های آنتاگونیست،
پژمردگی گوجه‌فرنگی،
ریزوسفر،
کنترل زیستی،
گوجه فرنگی

یکی از عوامل محدود کننده تولید گوجه‌فرنگی در دنیا بیماری پژمردگی باکتریایی با عامل *Ralstonia solanacearum* است. با توجه به اهمیت این بیماری در گوجه‌فرنگی، استفاده از عوامل کنترل زیستی می‌تواند یک راهکار مؤثر در کاهش خسارت این بیماری باشد. در این پژوهش نمونه‌های گیاهی مشکوک به بیماری پژمردگی باکتریایی گوجه‌فرنگی، در سال ۱۳۹۴ از مناطق مختلف استان آذربایجان شرقی جمع‌آوری شد. جداسازی باکتری از طریق شناسایی آن با آزمون‌های بیوشیمیایی و فیزیولوژیکی صورت پذیرفت. در بررسی‌های ژنوتیپی با جفت آغازگرهای ناحیه 16sRNA به نام PS96I و PS96H قطعه‌ای به اندازه‌ی ۱۴۸ جفت باز همچنین با جفت آغازگرهای F 759 و F 760 قطعه‌ای به اندازه ۲۸۰ جفت باز با PCR تکثیر شد. بر اساس مجموع بررسی‌های فنوتیپی و ژنوتیپی جدایه‌های مورد بررسی از بیماری پژمردگی گوجه‌فرنگی به عنوان بیوار II از *R. solanacearum* شناسایی شدند. به منظور کنترل زیستی باکتری مذکور تعداد ۱۵ جدایه باکتری از خاک ناحیه ریزوسفر بوته‌های سالم، با استفاده از آزمون رقیق‌سازی جداسازی شد. اثر آنتاگونیستی این جدایه‌ها بر اساس توانایی آن‌ها در جلوگیری از رشد پاتوژن با استفاده از آزمون تشکیل هاله بازدارنده مورد بررسی قرار گرفت. از بین جدایه‌های مورد بررسی، سه جدایه به عنوان نماینده انتخاب و ویژگی‌های فنوتیپی و ژنوتیپی آن‌ها تعیین گردید. بر این اساس جدایه ka1 به عنوان *Bacillus subtilis*، جدایه ka2 و Ka3 به عنوان *Pseudomonas fluorescens* شناسایی شدند.

مقدمه

آنتاگونیست جدا شده از رایزوسفر این گیاه در منطقه آذربایجان شرقی است.

باکتری (*R. Solanacearum*) یک بیمارگر خاکزاد، گرم منفی، میله‌ای شکل (به ابعاد $2/5-0/7 \times 1/5-0/5$ میکرومتر)، بدون اسپور، فاقد کپسول، هوازی اجباری، دارای یک تاژک قطبی و دارای گرانول Poly- β -hydroxybutyrate (PHB) که به عنوان ذخیره سلولی عمل می‌کند (Denny, 2006). تولید پلی- ساکاریدهای باکتریایی باعث کاهش جریان در شیره گیاهی و در نهایت منجر به پژمردگی می‌شود. باکتری *R. solanacearum* آنزیم‌های تخریب‌کننده دیواره سلولی (Cell wall degradation enzymes) تولید می‌کند که توسط سیستم ترشحی تیپ II ((Type II secretion system (T2SS)) ترشح می‌شود (Huang et al., 2006). این آنزیم‌ها شامل بتا-۱ و ۴ اندوگلوکوناز ((β -1,4endogluconase (Eg1))، اندوگالاکتوروناز (PehA)، اگزوپلی-گالاکتوروناز ((PehBandPehC) (Exopolysaccharonase)، بتا ۱ و ۴ سلویویدرولاز ((CbhA) (Celobiohydrolase) و پکتین متیل استراز ((Pectin methyl esterase) می‌باشند (Huang et al., 2006). در یک پژوهش در راستای مدیریت پژمردگی باکتریایی در گوجه‌فرنگی توسط ریزوباکترها، باکتری آنتاگونیست *Bacillus subtilis* در شرایط آزمایشگاهی توانست تا ۵۰ درصد از بیماری پژمردگی باکتریایی گوجه‌فرنگی را کاهش دهد (Vanitha et al., 2009). کاربرد کودهای آلی به همراه ریزوباکترها سبب افزایش تنوع عوامل کنترل زیستی در خاک شده و توانایی آن‌ها در غلبه بر عامل پژمردگی باکتریایی سیب‌زمینی افزایش می‌دهد (Alyie et al., 2008).

مواد و روش‌ها

نمونه برداری از مزارع گوجه‌فرنگی: در بهار سال ۱۳۹۴ طی بازدیدهای به عمل آمده از برخی مزارع گوجه‌فرنگی در استان آذربایجان شرقی (مراغه، بناب، ملکان و عجب‌شیر)، نمونه‌های گیاهی مشکوک به آلودگی با پژمردگی باکتریایی جمع‌آوری شد. در هر منطقه از مزارع مختلف نمونه برداری از بوته‌های مشکوک

گوجه‌فرنگی (*Solanum lycopersicum*) به‌طور وسیع در سراسر جهان کشت می‌شود. اما کشت آن به دلیل بیماری‌های فراوان قارچی، باکتریایی، ویروسی و نامتدی در برخی موارد با محدودیت روبه‌رو شده است (Jones et al., 1997). در سال ۲۰۰۰ انجمن بیماری شناسی ژاپن ۴۱ قارچ، ۱۰ باکتری، ۱۵ ویروس، ۱۴ نامتد و یک فیتوپلازما را به عنوان بیمارگرهای گوجه‌فرنگی گزارش کردند که بیشتر آن‌ها گسترش جهانی دارند (Arie et al., 2007). پژمردگی باکتریایی گوجه‌فرنگی (*Ralstonia solanacearum*) یک بیماری مهم است که روی برخی گیاهان در نواحی مختلف جهان خسارت ایجاد می‌کند. نژاد ۱ باکتری دارای بیشترین دامنه میزبانی است. به دلیل عدم کارایی و امکان استفاده از سموم شیمیایی در کنترل بیماری، استفاده از ارقام مقاوم و متحمل یکی از روش‌های مهم کاهش خسارت و پیشگیری از این بیماری است (Zimnoch-Guzowska., 2005). باکتری به دو شاخه با منشا جغرافیایی متفاوت تقسیم می‌شود. شاخه I (شامل بیوار سه، چهار و پنج) که منشا آسیایی دارند و شاخه II (شامل بیوار یک، ۲A و 2T) منشا گرفته از آمریکای جنوبی است. بیشتر ارقامی که مقاومت نسبی نشان می‌دهند به نظر می‌رسد که نسبت به بیماری متحمل باشند. بخاردهی خاک یا استفاده از آنتی-بیوتیک‌ها از نظر زیست‌محیطی مخرب، گران و اثر زیادی روی پژمردگی باکتریایی ندارد (Takahashi & Murakoshi, 1997; Saddler, 2005). آنتی‌بیوتیک‌هایی مانند استرپتومایسین، آمپی-سیلین، تتراسیکلین و پنی‌سیلین اثر اندکی روی بیماری دارند (Farag et al., 2001).

کنترل بیولوژیک در بیماری شناسی گیاهی به استفاده هدفمند از موجودات زنده اشاره دارد که باعث سرکوب یا کاهش فعالیت یک یا چند پاتوژن گیاهی، همچنین کاهش تولیدمثل آنها می‌شود (Denny, 2006). کنترل بیولوژیک بیماری‌های گیاهی یک روش مناسب برای مدیریت بیماری‌های گیاهی است و هدف از این پژوهش جداسازی، شناسایی جدایه‌های عامل پژمردگی گوجه‌فرنگی و همچنین شناسایی و بررسی اثر باکتری‌های

گذشت ۲۴ ساعت از هر پتری یک کلونی برداشته شده و در محیط جدید حاوی PDA کشت شد. در این مرحله باکتری خالص شده و برای انجام بررسی‌های بعدی نگهداری شدند. برای نگهداری باکتری‌ها، سوسپانسیون غلیظی از آنها را در میکروتیوپ‌های ۱/۵ سی‌سی حاوی آب مقطر استریل تهیه کرده و به دمای ۴ درجه‌ی سانتی‌گراد منتقل شدند. آزمون بیماری‌زایی باکتری مطابق روش وینستد و کلمن (Winstead *et al.*, 1998) انجام شد. ۴۰-۳۰ میکرو لیتر از سوسپانسیون باکتری با $OD=0/1$ در طول موج ۶۰۰ نانومتر با غلظت 10^7-10^6 سلول زنده در هر میلی‌لیتر آب مقطر استریل تهیه و به ساقه گیاهان گوجه‌فرنگی در مرحله ی ۸-۱۲ برگه‌ی مایه‌زنی شد. همچنین به گیاه شاهد فقط آب مقطر استریل تزریق شد. بوته‌های گوجه-فرنگی در شرایط گلخانه‌ای و میانگین دمای ۲۴ درجه‌ی سانتی-گراد نگهداری شدند. پس از گذشت یک هفته بوته‌ها از لحاظ وجود علائم پژمردگی مورد بررسی قرار گرفتند. مهم‌ترین و معمول‌ترین روش مورد استفاده برای تشخیص و شناسایی این باکتری جداسازی آن روی محیط TTC است. از این محیط کشت برای بررسی خصوصیات ظاهری کلنی و مقایسه کلونی‌های بیماری‌زا و غیر بیماری‌زا استفاده شد. واکنش فوق حساسیت در شمعدانی طبق روش (Lopper, 2004)، با تزریق سوسپانسیون باکتری با $OD = 0/1$ و طول موج ۶۰۰ نانومتر به برگ‌های شمعدانی صورت پذیرفت. واکنش طی ۷۲-۲۴ ساعت مورد ارزیابی قرار گرفت. واکنش گرم به روش رنگ‌آمیزی و همچنین حلالیت در KOH سه درصد به روش شیپر و همکاران (Shipper *et al.*, 1999) انجام شد. آزمون اکسیداز با استفاده از کاغذهای صافی آغشته به محلول ۱٪ تترامتیل پارافنیلین دی‌آمین دی - هیدرو کلراید انجام شد. تست کاتالاز با ریختن یک میلی‌لیتر آب اکسیژنه ۳٪ روی کلنی باکتری با استفاده از روش شاد و همکاران انجام و نتایج بر اساس ایجاد یا عدم ایجاد حباب ارزیابی شد (Schaad *et al.*, 2001). آزمون استفاده از منابع کربنی با استفاده از محیط پایه آیر (Ayer) بررسی شد. غلظت نهایی منابع کربن و انرژی ۰/۲٪ بود و به روش تندالیزاسیون (Tendalization) استریل شدند. نتایج بسته به مورد تا ۲۰ الی ۳۰ روز پس از آغاز واکنش ارزیابی گردید. برای شناسایی ژنوتیپی، واکنش زنجیره‌ای

و آلوده (شامل زردی، پژمردگی و کاهش رشد) انجام شد. بخش‌هایی از هر مزرعه به صورت تصادفی انتخاب شده و از نظر وجود گیاهان آلوده مورد بررسی قرار گرفت. گیاهان مشکوک به بیماری (شامل بوته‌های دارای علائم پژمردگی، زردی و کاهش رشد) انتخاب، جمع‌آوری و درون پاکت‌های مجزای کاغذی با ذکر محل و تاریخ جمع‌آوری به آزمایشگاه میکروبیولوژی دانشگاه آزاد واحد ملکان منتقل و تا زمان کشت درون یخچال نگهداری شدند. برای اطمینان از وجود باکتری در گیاه، ساقه‌های بریده شده در آب قرار داده شدند. پس از گذشت ۱۵ دقیقه پلی‌ساکارید خارج سلولی باکتری به رنگ سفید شیری از آوندهای چوبی به بیرون تراوش کرد که با چشم غیرمسلح قابل مشاهده بود. ساقه‌ی بوته‌های آلوده با آب شسته شده و پس از خشک شدن به اتاق کشت و زیر هود منتقل شدند. سطح ساقه‌ها با اتانول ۷۰٪ ضدعفونی و با تیغ استریل (در کنار شعله) به قطعات کوچکی تقسیم شدند. قطعات بریده شده ساقه درون تشتک پتری حاوی آب مقطر استریل قرار داده شد. پس از گذشت ۲۰ دقیقه لوپ استریل را درون آب مقطر زده و به روش مخطط کردن داخل تشتک پتری کشت انجام شد. تشتکهای پتری درون انکوباتور و در دمای ۳۰-۲۸ درجه سلسیوس نگهداری و پس از ۷۲ ساعت از تک کلون‌های رشد یافته انتخاب و در محیط کشت جدید مایه‌زنی شد. عمل مخطط کردن چندین بار صورت پذیرفت. در نهایت تک کلونها به محیط کشت جدید انتقال داده شدند. برای کشت نمونه‌ها از محیط کشت افتراقی Potato Dextrose Agar (PDA) و Nutrient Agar (NA) حاوی فنیل تترازولیوم کلراید (Tetrazolium Chloride) با فرمول شیمیایی $C_{19}H_{15}ClN_4$ استفاده گردید (John Thundyil *et al.*, 2013). بعد از گذشت چند روز در محیط TTC کلونی‌های مربوط به استرین‌های بیماری‌زا به صورت بزرگ، برآمده، لعاب‌دار، سفید و دارای مرکزی به رنگ قرمز روشن ایجاد شدند. کلونی‌های استرین‌های غیر بیماری‌زا مدور، قرمز تیره و اغلب با حاشیه آبی‌رنگ بودند. از هر پتری چهار کلونی که شبیه به کلنی به باکتری مورد نظر ما بود و به اندازه کافی از سایر کلونی‌ها فاصله داشت، انتخاب و به پتری‌های جدید منتقل گردید. جهت اطمینان از خالص‌سازی، باکتری‌ها دو بار به صورت مخطط کشت داده شدند. پس از

سانتی‌گراد به مدت ۴۸ ساعت نگه‌داری شدند. تک کلون‌های رشد یافته بر اساس تفاوت در رنگ، شکل، اندازه و حاشیه کلونی‌ها انتخاب و روی محیط NAS (نوترینت-آگار-سوکروز) به روش مخطط کردن خالص‌سازی شدند. در مجموع ۲۰ استرین باکتری حاصل و اثر آنتاگونیستی باکتری‌های مذکور جهت ممانعت از رشد باکتری بیمارگر در شرایط آزمایشگاهی به روش کشت سه نقطه‌ای و تشکیل هاله بازدارنده مورد بررسی قرار گرفت. استرین‌های باکتری آنتاگونیست به صورت سه نقطه در پتری حاوی محیط کشت NAS کشت و به مدت ۴۸ ساعت در دمای ۲۸ درجه سانتی‌گراد نگهداری شدند. بعد از گذشت ۴۸ ساعت با ریختن چند قطره کلروفورم روی درب پتری‌ها و گذاشتن آنها به صورت وارونه (به مدت ۲۰ دقیقه) باکتری‌های مذکور از بین برده شدند. سپس درب پتری‌ها در زیر هود استریل نیمه باز گذاشته شد تا کلروفورم باقی‌مانده تبخیر شود. آنگاه سوسپانسیون باکتری بیمارگر با غلظت 10^9 CFU و با $OD=0.1$ تهیه شد. یک میلی‌لیتر از سوسپانسیون به صورت یکنواخت در پتری ریخته شد. پتری‌ها به درون انکوباتور منتقل و به مدت دو تا سه روز درون انکوباتور نگهداری شدند. در ادامه اثر استرین‌های مذکور با اندازه‌گیری هاله بازدارنده اطراف باکتری‌های آنتاگونیست مورد بررسی قرار گرفت. استرین‌هایی که اثر آنتاگونیستی روی باکتری بیمارگر داشتند انتخاب و آزمون‌های فنوتیپی بر اساس آزمون‌های رنگ‌آمیزی گرم، آزمون فوق حساسیت در شمعدانی (Shaad et al., 2001)، تولید رنگ دانه فلورسنت روی محیط کینگ بی آگار و آزمون حلالیت در پتاس یا هیدروکسید پتاسیم ۳ درصد با روش شاد و همکاران (Shaad et al., 2001) انجام شد. آزمون رشد هوازی و بی‌هوازی (O/F) (Oxidative fermentation) در حضور گلوکز و به روش (Hugh and Leifsen et al., 2001) انجام شد. همچنین آزمون‌های آرژنین دی‌هیدرولاز (Tornely, 1997)، اکسیداز و لوآن (Shaad et al., 2001) نیز در ادامه انجام شد. استفاده از کربوهیدرات‌ها با استفاده از محیط پایه و بر اساس روش شاد انجام شد (Shaad et al., 2001). برای آزمون فوق حساسیت سوسپانسیون باکتری با غلظت تقریبی 10^9 CFU در میلی‌لیتر با استفاده از دستگاه اسپکتروفتومتر در طول موج ۶۰۰ نانومتر تهیه و توسط سرنگ بدون سوزن به پشت برگ‌های جوان

پلی‌مراز با استفاده از آغازگرهای اختصاصی ناحیه‌ی 16s rRNA شرکت سیناژن استفاده شد.

توالی آغازگرهای اختصاصی استفاده شده (5'-R: PS96H TCACCGAGCCGAATCCGCGTCCATCAC-3') و (5'-R: PS96H (5'TCACCGAGCCGAATCCGCGTCCATCAC-3') مربوط به ناحیه 16srRNA بودند (Heward et al. 1998). هرتانگ و همکاران (Hertung et al., 1998) نشان دادند که آغازگرهای PS96 و PS96H بسیار اختصاصی بوده و توانستند با استفاده از این آغازگرها تمام استرینهای *R. Solanacearum* مربوط به نواحی جغرافیایی مختلف را از غده‌ی سیب‌زمینی شناسایی کنند. برای اطمینان بیشتر از توالی‌های (5'-R: F:760 (5'-R: 759 GTCGCCGTCAACTCACTTCC-3') (5'-R: GTCGCCGTCAAGCAATGCGGAATCG-3') مربوط به ناحیه‌ی 16srRNA استفاده شد (Opiana et al. 1997). مراحل PCR برای ژن 16srRNA برای هر دو جفت آغازگر شامل واسرشته‌سازی اولیه به مدت ۵ دقیقه در ۹۵ درجه‌ی سانتی‌گراد، واسرشته‌سازی در دمای ۹۵ درجه‌ی سانتی‌گراد به مدت یک دقیقه، اتصال آغازگر در دمای ۵۰ درجه‌ی سانتی‌گراد به مدت ۴۵ ثانیه، تکثیر در دمای ۷۲ درجه‌ی سانتی‌گراد به مدت ۴۵ ثانیه و در نهایت تکثیر نهایی در دمای ۷۲ درجه‌ی سانتی‌گراد به مدت ۱۰ دقیقه و در ۳۵ سیکل انجام شد.

جداسازی باکتری‌های آنتاگونیست: جهت جداسازی باکتری‌های آنتاگونیست، خاک فرا ریشه گیاهان سالم از مزارع مختلف گوجه‌فرنگی کاری استان آذربایجان شرقی جمع‌آوری و به صورت جداگانه درون پاکت‌های کاغذی به آزمایشگاه انتقال داده شد. یک گرم از خاک چسبیده به ریشه در ۹ میلی‌لیتر آب مقطر استریل ریخته و با ورتکس به هم زده شد تا به صورت سوسپانسیون درآید. غلظت‌های مختلف به روش سری رقت تهیه شد. به این ترتیب که توسط پپیت استریل یک میلی‌لیتر از این سوسپانسیون به یک لوله آزمایش دیگر محتوی ۹ میلی‌لیتر آب مقطر استریل انتقال و این مراحل تا بدست آمدن رقت 10^{-3} ادامه یافت. با استفاده از پپیت پاستور یک قطره از سوسپانسیون‌های با رقت‌های 10^{-3} روی محیط کشت به‌طور جداگانه ریخته و با لوپ استریل به روش مخطط کردن کشت داده شد. پتری‌ها در دمای ۲۸ درجه

مقایسه شدند (Thompson *et al.* 1994). درخت فیلوژنی جدایه‌ها، با روش اتصال همسایه‌ای (Neighbour-joining) و با استفاده از نرم‌افزار MEGA5 و با bootstrap ۱۰۰۰ تکرار ترسیم گردید.

بررسی تولید متابولیت‌های میکروبی مؤثر در خاصیت آنتاگونیستی آزمون تولید پروتئاز: با توجه به نقش پروتئازها به عنوان یکی از سازوکارهای مهم در کنترل بیولوژیکی، این آزمون بر اساس روش من هوفر و همکاران (Maurhofer *et al.* 1998) بررسی شد. ابتدا محیط کشت شیر بدون چربی و آگار (SMA) تهیه و پتری دیش‌های حاوی محیط کشت (SMA) به صورت لکه‌ای توسط استرین‌های باکتریایی تلقیح و به مدت ۴۸ ساعت در دمای ۲۵ درجه سانتی‌گراد نگهداری شدند. تشکیل یک هاله بی‌رنگ در اطراف کلنی‌های باکتری در طول این مدت نشانه فعالیت پروتئازی در استرین‌ها است.

آزمون تولید سیانید هیدروژن: برای بررسی تولید سیانید هیدروژن ابتدا سوسپانسیون هر یک از باکتری‌ها (مربوط به کشت‌های ۲۴-۴۸ ساعته) به طور جداگانه در یک میلی‌لیتر آب مقطر سترون تهیه و میزان ۱۰۰ میکرو لیتر از هر استرین روی محیط کشت NA پخش شد. قطعاتی از کاغذ صافی به ابعاد ۱×۱ سانتی‌متر در محلول معرف سیانید هیدروژن که شامل ۵ گرم بی‌کربنات سدیم و ۰/۵ گرم اسید پیکریک در ۱۰۰ میلی‌لیتر آب غوطه‌ور گردید. قطعات کاغذ صافی آغشته به معرف مذکور درون درب تشتک پتری حاوی کشت باکتری آنتاگونیست قرار داده شد و به صورت وارونه در ۲۵ درجه سلسیوس نگهداری شدند. تغییر رنگ کاغذ صافی از زرد به قرمز پس از گذشت ۳ تا ۱۸ ساعت نشانه تولید سیانید هیدروژن است (Hayward, 2000).

آزمون تولید سیدروفور: در این آزمون استرین‌های باکتریایی روی محیط کینگ بی آگار (حاوی غلظت‌های ۰، ۲۵، ۵۰، ۱۰۰ و ۱۰۰۰ میکرومول کلرید آهن III) کشت شد. کشت‌ها به مدت ۵ روز در دمای ۲۵ درجه سلسیوس نگهداری شدند. تولید رنگ دانه سبز - آبی فلورسنت بعد از گذشت این مدت حاکی از تولید سیدروفور توسط استرین‌های مورد نظر بود. از کشت نمونه‌های دارای علائم پژمردگی و زردی تعداد ۲۰ جدایه با کلنی‌های سفید

شمعدانی تزریق شد. واکنش برگ‌های تزریق شده بعد از ۲۴-۱۲ ساعت مورد بررسی قرار گرفت. جداسازی DNA از سلول‌های باکتریایی به روش لایز قلبایی انجام شد (Ausuble *et al.*, 1995). جدایه‌ها پس از دو روز رشد در محیط NA در دمای ۲۸-۲۵، در آب مقطر استریل به صورت سوسپانسیون درآمدند. OD سوسپانسیون‌ها در ۶۰۰ نانومتر به ۰/۲ واحد تنظیم و به آن‌ها ۰/۱ حجم، هیدروکسید پتاسیم (KOH) ۱۰ درصد اضافه شد. نمونه‌ها به مدت ۲ تا ۳ دقیقه در آب جوش قرار داده شدند. شفاف شدن سوسپانسیون به عنوان لایز شدن سلول‌های باکتریایی تلقی گردید. نمونه‌ها به مدت ۵ دقیقه با سرعت ۱۲ هزار دور در دقیقه سانتریفیوژ و در ادامه لایه رویی از لوله‌ها برداشته و در دمای ۲۰- درجه سانتی‌گراد نگهداری شد. از این نمونه‌ها به عنوان DNA الگو در واکنش‌های زنجیره‌ای پلی مرز استفاده شد. وجود یک باند با وزن مولکولی بالا و بدون کشیدگی در طول ژل به عنوان معیاری در مناسب بودن کیفیت DNA استخراج شده تلقی شد.

واکنش زنجیره‌ای پلیمرز (PCR): ابتدا ۲ میکرولیتر DNA از هر نمونه به داخل میکروتیوب‌های جداگانه ریخته و سپس ۲۳ میکرو لیتر از محلول پایه به هر میکرو تیوب حاوی DNA اضافه گردید. برای انجام PCR از آغازگر عمومی (5'- F27 (TGGAACAGRTGCTAATACCG-3' و (5'- R1492 GYCCATTGTGGAAGATTCCC-3') شرکت سیناژن جهت تکثیر ژن 16srRNA استفاده شد. تکثیر با دستگاه ترموسایکلر (مدل MY PCR ساخت کره‌ی جنوبی) انجام پذیرفت. برنامه زمانی و دمایی مراحل PCR برای سنتز رشته شامل واسرشته‌سازی اولیه به مدت ۳ دقیقه در ۹۳ درجه‌ی سانتی-گراد، ۳۵ چرخه شامل، واسرشته‌سازی در دمای ۹۳ درجه‌ی سانتی‌گراد به مدت یک دقیقه، اتصال آغازگر در دمای ۵۶ درجه‌ی سانتی‌گراد به مدت ۴۵ ثانیه، تکثیر در دمای ۷۲ درجه‌ی سانتی-گراد به مدت یک دقیقه و در نهایت تکثیر نهایی در دمای ۷۲ درجه‌ی سانتی‌گراد به مدت ۱۰ دقیقه انجام شد. توالی‌های نوکلئوتیدی به‌دست‌آمده از ژن 16SrRNA جدایه‌ها پس از هم ردیف سازی چندگانه با برنامه ClustalW با سایر توالی‌ها در گونه‌های مختلف باکتری‌های همزیست موجود در GenBank

ویژگی‌های فنوتیپی باکتری‌های عامل بیماری پژمردگی گوجه‌فرنگی به عنوان بیوار ۲ باکتری *R. solanacearum* شناسایی شدند.



شکل ۱- آزمون بیماری‌زایی باکتری روی گیاه گوجه‌فرنگی، الف: گیاه شاهد (مایه‌زنی شده با آب مقطر) ب- علائم پژمردگی روی گوجه‌فرنگی مایه‌زنی شده با جدایه‌ی Aa1

Figure 1. Bacterial pathogenicity test on tomato plant: A, control plant (Inoculated with distilled water), B, symptoms of wilting on tomato plant instilled by Aa1 strain.

برای شناسایی ژنوتیپی جدایه‌های بیماری‌زا، پس از جداسازی DNA، از پرایمرهای اختصاصی ۷۵۹ /F ۷۶۰/ R و PS96I (5'- TCACCGAGCCACGCGTCCATCAC-3') و PS96I (5'- AAGGTGTCGCATCGAACCCGCC-3') طی واکنش زنجیره‌ای پلی‌مرز استفاده شد که به ترتیب قطعاتی به طول ۲۸۲ و ۱۴۸ جفت بازی تولید کردند (شکل ۲). این نتایج ژنوتیپی تأیید کننده شناسایی روش‌های فنوتیپی جدایه‌ها به عنوان باکتری *R. solanacearum* بود.

رنگ، لعاب‌دار و محدب روی محیط نوترینت آگار رشد کرد که از بین آن‌ها ۱۰ جدایه (که روی محیط TTC به رنگ سفید با مرکز صورتی بودند) انتخاب و ویژگی‌های فنوتیپی آن‌ها مورد ارزیابی قرار گرفت. نام جدایه‌ها و مناطق جداسازی آن‌ها در جدول ۱ آمده است.

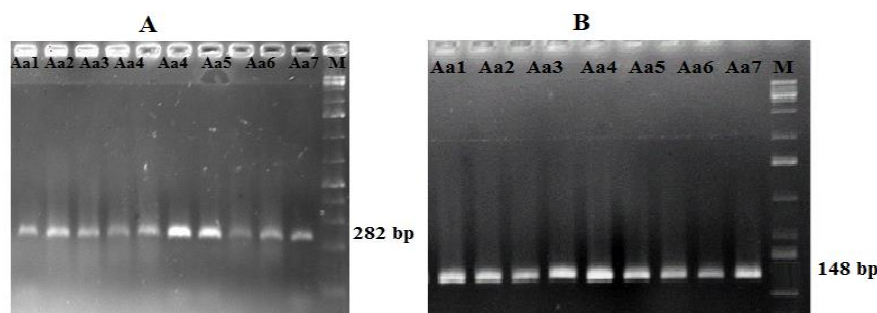
جدول ۱- نام محل جداسازی هریک از جدایه‌های *Ralstonia solanacearum* از استان آذربایجان شرقی.

Table 2. Name of the site and year of isolation of each *Ralstonia solanacearum* strain in East Azerbaijan Province.

محل جمع‌آوری	نام جدایه‌ها
مراغه	Aa1, Aa2, Aa3, Aa4, Aa5, Aa6
بناب	Aa7, Aa8, Aa9, Aa10, Aa11
ملکان	Aa12, Aa13, Aa14, Aa15, Aa16
عجب‌شیر	Aa17, Aa18, Aa19, Aa20

نتایج و بحث

برای شناسایی مقدماتی، باکتری‌های جدا شده روی گیاهان گوجه‌فرنگی مایه‌زنی شدند و پس از گذشت حدود سه هفته علائم پژمردگی ظاهر شد (شکل ۱). همه جدایه‌ها، گرم منفی، کاتالاز و اکسیداز مثبت، متحرک و هوازی بودند. جدایه‌ها از قندهای مالتوز، لاکتوز و سلوبیوز استفاده کردند ولی قادر به مصرف دولسیتول، مانیتول و سوربیتول نبودند. سایر خصوصیات فنوتیپی جدایه‌ها در جدول ۲ آمده است. بر اساس مجموع



شکل ۲ - A- قطعه ۲۸۲ بازی تکثیر شده جدایه‌های *R. solanacearum* (Aa1 تا Aa7) با استفاده از آغازگرهای ۷۵۹ /F ۷۶۰/ B- قطعه ۱۴۸ بازی تکثیر شده جدایه‌های *R. solanacearum* (Aa1 تا Aa7) با استفاده از آغازگرهای PS96I/ PS96H، در ژل آگارز ۱/۵ درصد رنگ‌آمیزی شده با اتیدیوم بروماید.

Figure 2. A- Amplified fragment of 282 bp of strains of *R. solanacearum* Aa1 to Aa7 using 759 and 760 primers in agarose 1.5 % gel colored with Ethidium Bromide. B- Amplified fragment of 148 bp of strains of *R. solanacearum* Aa1 to Aa7 using PS96I and PS96H primers.

جدول ۲- ویژگی‌های مورفولوژیکی، بیوشیمیایی و فیزیولوژیکی جدایه‌های عامل بیماری پژمردگی گوجه‌فرنگی

Table 2. Morphologic, biochemical and physiological properties of pathogenic strains of tomato wilt

Test	Reaction of strains	Test	Reaction of strains
catalase	+	Ramenose	+
oxidase	+	Sucrose	+
Ultrasensitivity on geranium	+	Fructose	+
Growth in 2%NaCl solution	-	Rafinose	+
Producing acid from:		Galactose	+
Maltose	+	Lactose	-
Cellobiose	+	Dolistole	
Mannitol	-	Use of	-
Maltose	+	Beta Alanine	-
Trehalose	+	L-Arginine	-
Glucose	+	L-Lysine	-
Sorbitol	-	Producing fluorescent pigments	+

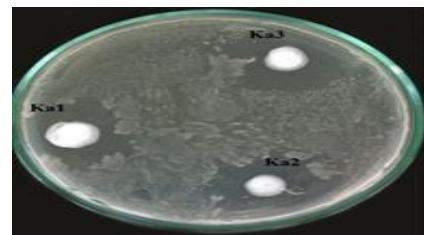
Bacillus و دو باکتری Ka2 و Ka3 به‌عنوان جنس *Pseudomonas* شناسایی شدند.

جدول ۳- ویژگی‌های مورفولوژیکی، بیوشیمیایی و فیزیولوژیکی جدایه‌های آنتاگونیست

Table 3. Morphological, biochemical and physiological properties of antagonist strains

واکنش جدایه‌ها	آزمون		
	Ka3	Ka2	Ka1
واکنش گرم	-	-	+
کاتالاز	+	+	+
اکسیداز	+	+	-
فوق حساسیت در شمع‌دانی	-	-	-
تولید لوان	+	+	-
آرژنین دهیدرولاز	+	+	-
تولید اسید از			
رامنوز	+	+	-
سوکروز	+	+	+
مالتوز	+	+	+
سلویوز	-	+	-
مانیتول	+	+	+
مانوز	+	+	+
ترهالوز	+	+	-
گلوکز	+	+	+
لاکتوز	-	+	+
سوربیتول	+	+	-

پس از کشت باکتری‌های فرا ریشه مربوط به بوته‌های سالم گوجه‌فرنگی، تعداد ۱۵ جدایه با کلنی‌های متفاوت از نظر شکل و رنگ جداسازی شد. فعالیت آنتاگونیستی این باکتری‌ها با روش کشت سه نقطه‌ای و بخار کلروفورم همچنین توانایی آن‌ها در تولید آنتی‌بیوتیک و مواد بازدارنده مورد بررسی قرار گرفت. از بین ۱۵ جدایه تعداد سه جدایه علیه *R solanacearum* دارای خاصیت بازدارندگی بودند (شکل ۳). این جدایه‌ها Ka1، Ka2 و Ka3 نام‌گذاری شدند که به ترتیب قطر هاله بازدارندگی توسط آن‌ها ۶/۲۵، ۷/۱۴ و ۸/۳ میلی‌متر بودند.



شکل ۳- اثر بازدارندگی باکتری‌های رایزوسفر جداشده از گوجه‌فرنگی علیه

Ralstonia solanacearum

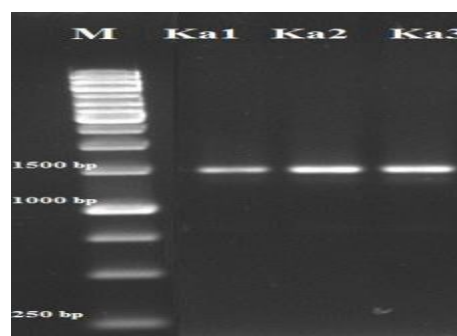
Figure 3. Preventive effect of Rhizosphere bacteria isolated from tomato against *Ralstonia solanacearum*

جدایه‌های آنتاگونیست بر اساس ویژگی‌های مورفولوژیکی، فنوتیپی و بیوشیمیایی شناسایی شدند. آزمون‌های انجام‌شده در جدول ۳ آمده است. بر اساس ویژگی‌های بیوشیمیایی، مورفولوژیکی و فیزیولوژیکی، باکتری Ka1 به‌عنوان جنس

در این تحقیق مشخص شد جدایه‌های به دست آمده از استان، دارای خصوصیات فیزیولوژیکی و بیوشیمیایی مشابه هستند. بر اساس مجموع ویژگی‌های فنوتیپی و ژنوتیپی، مشخص شد باکتری عامل پژمردگی گوجه‌فرنگی در استان آذربایجان شرقی به‌عنوان بیوار ۲ از باکتری *R. solanacearum* است. با استفاده از جفت آغازگرهای ۷۶۰-۷۵۹، باندی با طول ۲۸۲ جفت باز تشکیل شد (شکل ۷). نتایج حاصل با گزارشات اوپینا و همکاران (Opina et al., 1997) در رابطه با آغازگرهای ۷۶۰-۷۵۹ جهت شناسایی جدایه‌های *R. solanacearum* مطابقت دارد. همچنین نتایج حاصل با گزارش (Ushijima and Fujii., 1998) در رابطه با جفت آغازگرهای ۷۶۰-۷۵۹ و تشکیل باند ۲۸۲ جفت باز در جدایه‌های *R. solanacearum* مربوط به استرالیا، فیلیپین، تایوان، ژاپن و آمریکا مشابه است. در این تحقیق همچنین با آغازگرهای PS96I, PS96H باندی به طول ۱۴۸ جفت باز حاصل شد که با نتایج هارتانگ و همکاران (Hurtung et al., 2000) که از آغازگرهای مذکور برای شناسایی ۲۸ جدایه *R. solanacearum* استفاده کرده بودند مشابه بود.

روش کنترل بیولوژیکی عوامل بیماری‌زای گیاهی با استفاده از میکروارگانیسم‌های مفید جایگاه بسیار مهمی در برنامه‌های مدیریت زراعی دارد (Whipps, 2001). در این پژوهش ۲۰ جدایه *R. solanacearum* از بوته‌های دارای علائم پژمردگی گوجه‌فرنگی در استان آذربایجان شرقی جداسازی شد. آزمون بیماری‌زایی مشخص نمود که جدایه Aa1 نسبت به سایر جدایه‌های این بیمارگر از شدت بیماری‌زایی بیشتری برخوردار است و برای مطالعات بعدی انتخاب شد. در این مطالعه جدایه‌های باکتری‌های آنتاگونیست از خاک اطراف ریشه گوجه‌فرنگی با روش سری رقت جداسازی شدند. آنتی‌بیوتیک‌ها، مواد محرک رشد و ترکیبات بازدارنده تولید شده توسط این جدایه‌ها باعث کاهش رشد در بیماری عامل پژمردگی باکتریایی گوجه‌فرنگی شد.

پس از جداسازی DNA و اطمینان از حضور آن با الکتروفورز ژل آگارز، DNA به دست آمده از جدایه‌های آنتاگونیست جهت انجام PCR مورد استفاده قرار گرفت. برای تأیید شناسایی فنوتیپی و همچنین تعیین گونه‌های جدایه‌های آنتاگونیست، واکنش زنجیره‌ای پلی‌مراز با استفاده از آغازگرهای عمومی برای ژن 16S rRNA انجام و باندی به اندازه‌ی ۱۵۰۰ جفت باز از استرین Ka2, Ka1 و Ka3 روی ژل آگارز تشکیل شد (شکل ۴).

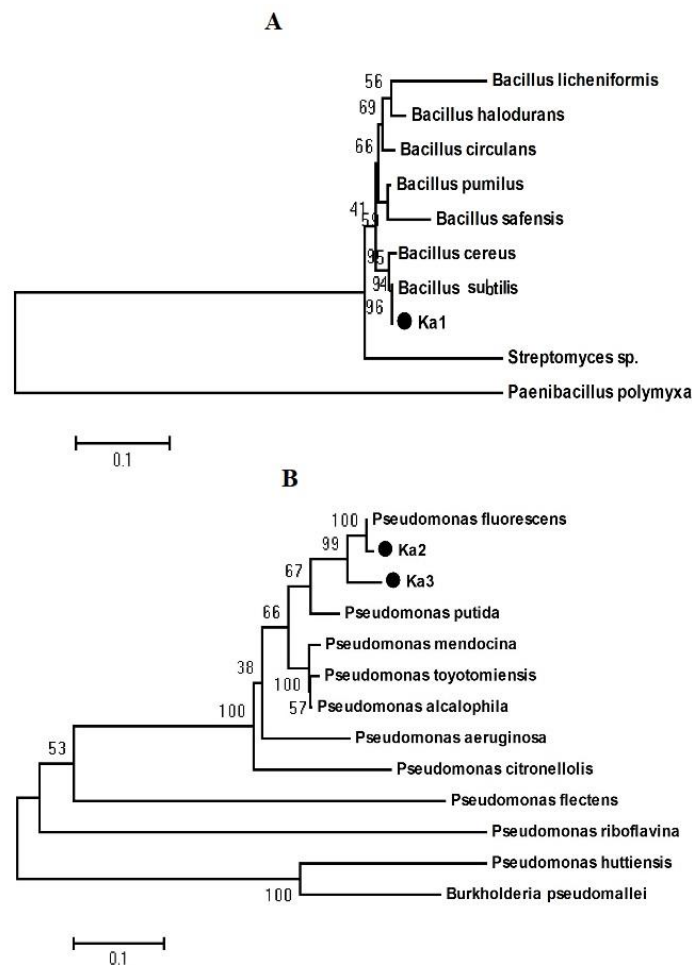


شکل ۴- قطعه ۱۵۰۰ جفت بازی تکثیرشده از ژن 16 s rRNA در ژل آگارز ۱/۵ درصد رنگ‌آمیزی شده با اتیدیوم بروماید. ka1, ka2 و ka3: جدایه‌های آنتاگونیست جداشده از ریزوسفر گوجه‌فرنگی. M: نشانگر جرم مولکولی kb

Figure 4. Amplified fragment of 1500 bp of strains from 16srRNA gene on Agarose 1.5% gel colored with Ethidium Bromide Ka1, Ka2 and Ka3 are the isolated strains from rhizosphere of tomato. M is the molecular weight Kb

محصول واکنش حاصل از تکثیر ژن 16S rRNA جدایه‌های آنتاگونیست برای توالی‌یابی به شرکت بایونر کره‌ی جنوبی ارسال شد. توالی‌های به دست آمده با سایر توالی‌های مربوط به این ناحیه در بانک اطلاعات NCBI به‌وسیله نرم‌افزار بلاست نوکلوتید هم‌تراز شد. جدایه‌ی ka1 با ۹۹/۴ درصد به گونه‌ی *B. subtilis*، جدایه‌های ka2 و ka3 به ترتیب با ۹۹/۵ و ۹۳/۳ به *P. fluorescens* شبیه بودند.

درخت فیلوژنی استرین‌ها با روش اتصال همسایه‌ای (Neighbour-joining) و با استفاده از نرم‌افزار MEGA5 با boot strap ۱۰۰۰ تکرار ترسیم شد. با توجه به دندروگرام حاصله، جدایه ka1 بیشترین شباهت را به *B. subtilis* و جدایه‌های ka2 و ka3 به *P. fluorescens* شباهت داشت و در یک گروه قرار گرفتند (شکل ۵).



شکل ۵- A- درخت فیلوژنتیکی حاصل از مقایسه ژن 16S rRNA جدایه Ka1 جدا شده از ریزوسفر گوجه‌فرنگی با سایر باکتری‌های موجود در NCBI و B- درخت فیلوژنتیکی حاصل از مقایسه ژن 16S rRNA جدایه‌های Ka2 و Ka3 جدا شده از ریزوسفر گوجه‌فرنگی با سایر باکتری‌های موجود در NCBI با استفاده از نرم‌افزار MEGA5

Figure 5. Phylogenetic tree from the comparison between Ka1 strain isolated from rhizosphere of tomato with other bacteria present in NCBI and B- Phylogenetic tree from the comparison between 16SrRNA gene of Ka2 and Ka3 strains isolated from rhizosphere of tomato with other bacteria present in NCBI using MEGA5 program.

جدایه‌های آنتاگونیست را در شرایط آزمایشگاه می‌توان به دلیل آنتی‌بیوتیک‌های تولیدشده توسط جدایه‌های جنس باسیلوس از قبیل باسیلومایسین، مایکوباسیلین، باسیلیسین و همچنین آنتی-بیوتیک‌های تولیدشده توسط جدایه‌های جنس سودوموناس از قبیل فنازین ۱- کربوکسامید (pcn)، پیلوتئورین (plt)، پیرول نیتین و سیدروفور دانست (Defago et al., 2000). در مورد ترکیبات موجود در ترشحات مایع جدایه‌های باسیلوس تحقیقات

جدایه‌های مربوط به جنس *Pseudomonas spp* در مقایسه با سایر جدایه‌ها تأثیر بیشتری در این بازدارندگی در شرایط آزمایشگاه داشتند. در بررسی‌های آزمایشگاهی با روش کشت سه نقطه‌ای و بخار کلروفورم و در نتیجه تشکیل هاله بازدارنده، این جدایه‌ها Ka1، Ka2 و Ka3 نام‌گذاری شدند که به ترتیب قطر هاله بازدارندگی توسط آن‌ها ۶/۲۵، ۷/۱۴ و ۸/۳ میلی‌متر بودند. فرآیند بازدارندگی از رشد عامل بیماری پژمردگی باکتریایی توسط

که *P. putida* با تولید سیدروفور از رشد پرگنه قارچ فوزاریم جلوگیری می‌کند (Scher and Baker, 2004). لوپر نشان داد که سیدروفور تولید شده توسط *P. fluorescens* در کنترل قارچ *Pythium ultimum* نقش دارد (Ioper, 2004). آزمون تولید سیدروفور برای جدایه‌های Ka2 و Ka3 (*Pseudomonas fluorescens*) مثبت بود. نتایج آزمون تولید سیدروفور در این پژوهش با نتایج فوق مطابقت دارد و می‌توان استنباط کرد که احتمالاً این جدایه‌ها با تولید سیدروفور از رشد عامل بیمارگر جلوگیری کرده‌اند. سیدروفورها مواد کلاته کننده آهن با وزن مولکولی کم هستند که تحت شرایط کمبود آهن تولید می‌شوند و با یون آهن سه ظرفیتی کمپلکس تشکیل می‌دهند (Defago and Hass, 2000). سیدروفور تولید شده توسط سودوموناس‌های فلورسنت از نوع سودوباکتین و پیورین است که نسبت به سیدروفور سایر میکروارگانیسم‌ها قدرت رقابت آن‌ها بیشتر است. سیدروفور سریعاً ریشه گیاه را احاطه کرده و آهن را از منطقه ریشه غیر قابل دسترس می‌سازد (Fuchs, 2000). نتایج به‌دست‌آمده در این آزمایش با نتایج (Guo et al., 2004) همچنین (Wydra et al., 2005) که گزارشی مشابه از کاهش شدت بیماری توسط *R. solanacearum* و کنترل بیماری گیاهان گوجه‌فرنگی بعد از تیمار با *Bacillus sp* و *Pseudomonas fluorescens* دارند مطابقت دارد.

زیادی صورت گرفته است و مشخص شده که جدایه‌های باسیلوس طیف وسیعی از آنتی‌بیوتیک‌ها را تولید می‌کنند (Kerbs et al., 1998). آنتی‌بیوتیک‌های تولید شده توسط باسیلوس‌ها شامل: ایتورین آ، فنجی مایسین، باسیلومایسین، مایکوباسیلین، باسیلیسین و سورفاکتین است (Broadbent et al., 2008). در مطالعات انجام شده توسط (Romanenko and Alimov, 2000)، جدایه‌های *B. subtilis* نسبت به سایر جدایه‌های آنتاگونیست (*Pseudomonas putida*، *Pseudomonas fluorescens* و *Burkholderia cepacia*) تأثیر بیشتری در کاهش رشد پرگنه قارچ *Bipolaris sorokiniana* داشتند، درحالی که در تحقیق حاضر جدایه‌های *P. fluorescens* نسبت به جنس باسیلوس از قدرت بازدارندگی بیشتری برخوردار بودند. در مورد سودوموناس‌های فلورسنت کننده تحقیقات زیادی صورت گرفته است تا مواد تولید شده توسط آنها (که در فرآیند اثر متقابل بین آن‌ها و پاتوژن دخالت دارد) مشخص شود (Run et al., 2005).

در تحقیق حاضر با توجه به متابولیت‌های ثانویه تولید شده توسط سودوموناس‌های فلورسنت (پروتاز، سیانید هیدروژن و سیدروفور) می‌توان چنین استنباط کرد که این جدایه‌ها با تولید آنتی‌بیوتیک‌هایی از قبیل فنازین ۱- کربوکسیلیک اسید، فنازین ۱- کربوکسامید، پیروول نیتین، پیلوتورین، آنزیم‌های تخریب‌کننده دیواره سلولی مانند بتا ۴ و ۱ اندوگلوکوناز و سیدروفور باعث جلوگیری از رشد بیمارگر می‌شوند. شر و همکاران نشان دادند که

منابع

- Defago G, Hass D. 2000. *Pseudomonas* as antagonists of soil-borne plant pathogens, mooda of action and genetic analysis. *Soil Biochemistry* 6: 249-291.
- Denny TP. 2006. Plant pathogenic *Ralstonia* species. In Gnanamanickam, S., S. (Eds). Plant - associated Bacteria, Dordrecht. Springer, 573- 644.
- Farag M, Prior P. 2001. How complex is the *Ralstonia solanacearum* species complex. In: Allen, C., Prior, P., and Hayward, A. C. (Eds). Bacterial Wilt Disease and the *Ralstonia solanacearum* Species Complex. *American Phytopathological Society*, 449-461.
- Fuchs R, Schafer M, Geoffroy V, and Meyer JM. 2001. Sidero typing a powerful tool for the characterization of pyoverdines. *Current Topics in Medicinal Chemistry* 1: 31-57.
- Aliyet N, Fininsa C, and Hiskias Y. 2008. Evaluation of rhizosphere bacterial antagonist for their potential to bioprotect potato (*Solanum tuberosum*) against bacterial wilt (*R. solanacearum*). *Biological Control* 47: 282-288.
- Arie T, Takahashi H, Kodama M, and Teraoka T. 2007. Tomato as a Plant model for Plant Pathogen interaction. *Plant Biotechnology* 24: 135-147.
- Ausubel F. Brent R, Kingston RE, Moore DD, Seidman JG, Smith JA, and Struhl K. 2002. A Compendium of Method from Current Protocols in Molecular Biology. *John Wiley and Sons*, 900 pp.
- Broadbent P, Baker K F. Franks N, and Holland J. 2008. Effect of *Bacillus spp* on inceased growth of seedling In steamed and in non treated soil. *Phytopathology* 67: 34 - 1027.

- Gue J, Loyd AB. 2004.** Survival of potato strain (race 3) of *Pseudomonas solanacearum* in the deeper soil layers. *Australian Journal of Agricultural Research* 30: 489-496.
- Hayward AC. 1991.** Biology and epidemiology of bacterial wilt caused by *Pseudomonas solanacearum*. *Annual Review of Phytopathology* 29: 65-87.
- Hayward AC. 2000.** *Ralstonia solanacearum*. In: Encyclopedia of Microbiology (2nd Ed). *Academic Press*, London, 32-42.
- Huang Q, Clifford JM, Presting G, Gonzalez ET, Reddy J, Elphinstone J, Yao V, Liu L, Farmerie W, Patnaikuni M, Balogh B, Norman D, Alvarez A, Castillo JA., Jones JB, Saddler G, Walunas T, Zhukov A, and Mikhailova N. 2006.** Identification of Open Reading Frames Unique to a Select Agent, *Ralstonia solanacearum* Race 3 Biovar 2. *Molecular Plant-Microbe Interactions* 19: 69-79.
- Liu H, Kang Y, Genin S, Schell MA, and Denny TP. 2001.** Twitching motility of *Ralstonia solanacearum* requires a type IV pillus system. *Microbiology- UK* 147: 3215-3229.
- Loper JE, Buyer JS. 2004.** Siderophores in microbial interactions on plant surfaces. *Molecular Plant-Microbe Interactions*, 4, 5-13.
- Maurhofer M, Keel C, Schnider U, Voisord C, Hass D, Defago G. 1998.** Influence of enhanced antibiotic production in *Pseudomonas fluorescens* strain CHAO it disease suppressive capacity. *Phytopathology* 82: 190-195.
- Opina N, Tavaner F, Holloway G, Wang J, Li T, Maghirang R, Fegan M, Hayward A, Krishnapillai V, Hong W, Holloway B, and Timmis J. 1997.** A novel method for development of species and strain specific DNA probes and PCR Primers for identifying *Burkholderia solanacearum* (formerly *Pseudomonas solanacearum*). *Journal of Molecular Biotechnology* 5(1): 19-30.
- Romareko V, Viswanathan R, Raguchander T, Prakasam V, and Samiyappan R. 2006.** Induction of systemic resistance by plant growth-promoting rhizobacteria in crop plants against pests and disease. *Crop Protection* 20: 1-11.
- Run LX, Liu CY, Wu GJ, Van Loon LC, Bakker PA. 2005.** Suppression of bacterial wilt in *Eucalyptus urophylla* by fluorescence *Pseudomonas* spp In China. *Biological Control* 32:111-120.
- Saddler GS. 2005.** Management of bacterial wilt disease. In: Allen, C., Prior, P., and Hayward, A. C. (Eds). *Bacterial Wilt Disease and the Ralstonia solanacearum Species Complex*. *American Phytopathological Society*, 121-132.
- Schaad NW, Jones JB, Chun W. 2001.** Laboratory Guide for the Identification of Plant Pathogenic Bacteria. *Phytopathology Society* 25: 59-339.
- Scher NW, Jones JB, and Chun W. 2004.** Laboratory Guide For the Identification of Plant Pathogenic Bacteria. *Amer Phytopathology Society* 52: 487-51.
- Shippers B, Baker AW, and Baker AHM. 1998.** Interaction of deleterious and beneficial rhizosphere microorganism and the effect of cropping practices. *Annual Review of Phytopathology* 25: 59-339.
- Urakami TC, Ito-Yoshida H, Araki T, Kijima KI, Komagata K. 1994.** Transfer of *Pseudomonas plantarii* and *Pseudomonas glumaeto Burkholderia* as *Burkholderia* spp and description of *B. vandii*. *International Journal of Systematic Bacteriology* 44: 235-245.
- Vanitha S, Niranjana S, Mortensen C, and Umesha S. 2009.** Bacterial wilt of tomato in Karnataka and its management by *Bacillus subtilis*. *Biological Control* 54: 685-695.
- Whipps JM. 2001.** Microbial interactions and biocontrol in the rhizosphere. *Journal of Experimental Botany* 52: 487-51.
- Winstead NN, Kelman A. 1998.** Inoculation techniques for evaluating resistance to *Pseudomonas solanacearum*. *Phytopathology* 42: 3946-3951.
- Wydra S, Niranjana S, Mortensen C, and Umesha S. 2005.** Bacterial wilt of tomato in Karnataka and its management by *Bacillus subtilis*. *Biological Control* 54: 685-695.
- Zimnoch-Guzowska E, Lebecka R, and Flis B. 2005.** Breeding for resistance to bacterial disease in potato. In: Proceeding 16th Triennial Conference of the European Association for Potato Research, Bilbao, Spain, Riculturist, 218-223.

Genetic Engineering and Biosafety Journal
Volume 9, Number 1

Detection and Identification of Tomato wilt disease in East Azerbaijan Province and Controlling It Using Antagonist Bacteria

Ashrafi Ahmad¹, Salehzadeh Mehrdad^{*2}, Khezzinezhad Nabi³

1. MSc. of Plant Pathology, Department, Faculty of Agriculture, Malekan Branch, Islamic Azad University
2. PhD Student of Plant Pathology, Department, Faculty of Agriculture, University of Shiraz, Iran
3. Plant Pathology Department, Faculty of Agriculture, Malekan Branch, Islamic Azad University

*Corresponding Author, Email: Mehrdadsalehzadeh@gmail.com

Abstract

Bacterial wilt caused by *Ralstonia solanacearum* is one of the most destructive diseases which negatively affects the tomato production worldwide. Considering the importance of the disease, using biological control agents could be effective approaches in reducing the damage of the pathogen. Plant specimens suspected to be infected by tomato bacterial wilt disease were collected from different regions of East Azerbaijan province in Iran. Phenotypic identification of the strains was performed using recommended biochemical and physiological tests. In genotypic assessment, using PCR, a 282 and 148 bp fragments with the PS96I/ PS96H primers were amplified. Based on phenotypic and genotypic properties, the strains that cause wilt of tomato were identified as *R. solanacearum* biovar 2. For biological control of this disease, 15 bacterial strains were collected from rhizosphere of healthy tomato plants using soil serial dilution method. Antagonistic effect of the strains was evaluated based on their growth inhibitory on pathogen. According to the results, three bacterial strains showed antagonistic activity against *R. solanacearum*. Based on phenotypic and genotypic characteristics, the antagonist strains Ka1, Ka2 and Ka3 were identified as *Bacillus subtilis* and *Pseudomonas fluorescens*, respectively.

Key words: Biological control, Antagonist, Rhizosphere, Tomato, Tomato wilt disease

